

Семинар 7. Квантовые вычисления

7.1 Введение

Из предыдущего изложения ясно, что необходимость построения квантового компьютера и разработка схемы квантовых вычислений возникает по двум причинам. Первая причина — технологическая. Фактическое развитие полупроводниковых технологий и технологий изготовления больших интегральных схем неизбежно приводит к тому, что для записи бита классической информации требуются все более и более микроскопические объекты приходя по существу к отдельным атомам и молекулам. Поведение этих объектов уже не укладывается в рамки классического описания и потому приходится либо считать, что достигнут технологический предел миниатюризации, либо решать проблему организации вычислений на квантовых объектах.

Вторая причина, которая стимулирует исследования в области квантовых компьютеров — это проявляющиеся принципиальные ограничения, которые возникают при использовании классических компьютеров, когда речь идет о возрастающем числе данных и экспоненциальном росте времени вычисления для многих, практически интересных и важных классических алгоритмов. Среди этих примеров приводится задача факторизации числа N на простые множители. В классической теории вычислений "приемлемыми" рассматриваются такие алгоритмы вычислений, в которых число шагов растет как полином небольшой степени от размера входных данных (например, полином второй или третьей степени).

Для задачи факторизации входными данными является число N , которое необходимо разложить на множители. Поэтому "длина" входных данных на классическом "двоичном" компьютере есть $\log_2 N$. Основание 2 логарифма связано с использованием двоичной системы исчисления. Известно, что лучшие алгоритмы факторизации выполняются за число шагов, k , которое имеет следующий порядок ¹

$$k = Const \cdot \exp \left\{ (64/9)^{1/3} (\ln N)^{1/3} (\ln \ln N)^{2/3} \right\}. \quad (7.1)$$

То есть алгоритм вычислений приводит к экспоненциальному росту числа шагов по мере роста числа входных данных. Так в 1994 году 129-значное число было факторизовано на 1600 рабочих станциях, распределенных по всему миру ². Время факторизации составило 8 месяцев. Используя результаты этого эксперимента можно качественно оценить порядок величины $Const$ в (7.1). Оценка числа времени, которое потребуется для факторизации 250-значного числа на тех же 1600 рабочих станциях дает $\sim 10^6$ лет (миллион лет!). Соответственно для факторизации 1000-значного числа потребуется 10^{25} лет, что на 11 – 12 порядков больше (триллион лет) возраста вселенной, который оценивается в $10^{12} - 10^{13}$ лет.

Сама по себе абстрактная задача факторизации очень больших чисел, помимо академического (считай никому не нужного) интереса имеет прямое отношение к системам криптографии с открытым ключом, нашедшим широкое применение в банковских системах. Забегая вперед, можно сказать, что факторизация 1000-значного числа с помощью квантового алгоритма потребует всего лишь несколько миллионов шагов и, следовательно, если квантовые алгоритмы удастся реализовать в реальном устройстве, то криптосистемы

¹A.M. Odlyzko. AT&T Bell Laboratories, preprint 1995.

²S.L. Branstern. Encyclopedia of Applied Physics, Update, WILEY-VCH, 1999.

с открытым ключом, основанные на сложности факторизации чисел с приблизительно 250 знаками будут взломаны. Но естественно, не только задача "продажи" секретов банковским мошенникам стоит перед квантовыми вычислениями. Принципиальным фактом развития квантовых вычислений является возможность осуществления параллелизма в квантовых вычислениях, принципиально не доступного в классических устройствах.

7.2 Логические однокубитовые гейты

Классические компьютерные цепи состоят из проводов и набора логических гейтов (совокупности транзисторов). Провода служат для передачи стандартных напряжений по электрическим цепям, а логические гейты осуществляют преобразование "проходящей" через них информации. При этом единственным не тривиальным логическим гейтом, который преобразует 1 бит классической информации является NOT-гейт, действие которого сводится к преобразованиям битов вида: $0 \rightarrow 1$ и $1 \rightarrow 0$.

Одиночный кубит, по определению, является суперпозицией двух квантовых состояний $|0\rangle$ и $|1\rangle$, каждое из которых может рассматриваться как носитель одного бита классической информации

$$|\psi\rangle = a |0\rangle + b |1\rangle. \quad (7.2)$$

В соответствии с определением классического NOT-гейта, квантовый NOT-гейт (т.е. гейт преобразующий информацию внутри кубита) может быть определен по аналогии:

$$NOT : |\psi\rangle \rightarrow NOT : (a |0\rangle + b |1\rangle) \rightarrow a |1\rangle + b |0\rangle. \quad (7.3)$$

На основании теории представлений, квантовому состоянию кубита $|\psi\rangle$ (7.2) соответствует столбец

$$|\psi\rangle \rightarrow \begin{pmatrix} a \\ b \end{pmatrix}. \quad (7.4)$$

Поэтому квантовым аналогом классического NOT-гейта является матрица вида:

$$x \equiv \begin{pmatrix} 0 & 1 \\ 1 & 0 \end{pmatrix}, \quad x \begin{pmatrix} a \\ b \end{pmatrix} = \begin{pmatrix} b \\ a \end{pmatrix}, \quad (7.5)$$

которая совпадает с матрицей Паули σ_x в s_z -представлении.

В соответствии с (7.4) квантовые гейты, преобразующие однокубитовое состояние являются унитарными матрицами размерности 2×2 . В отличие от классических систем, для кубита можно построить неограниченное число гейтов. Однако, в силу полноты системы матриц Паули и единичной матрицы I , любая 2×2 матрица может быть разложена по этой полной системе матриц. Поэтому для практического использования представляют интерес сами матрицы Паули $X \equiv \sigma_x$, $Y \equiv \sigma_y$, $Z \equiv \sigma_z$ и некоторые их специальные комбинации, среди которых выделим следующие три:

$$H \equiv \frac{1}{\sqrt{2}} \begin{pmatrix} 1 & 1 \\ 1 & -1 \end{pmatrix}; \quad S \equiv \begin{pmatrix} 1 & 0 \\ 0 & i \end{pmatrix}; \quad T \equiv \begin{pmatrix} 1 & 0 \\ 0 & e^{i\pi/4} \end{pmatrix}. \quad (7.6)$$

Матрицы (7.6) определяют соответственно H -гейт Адамара, S -фазовый гейт, а T называется $\pi/8$ -гейт. Из определения перечисленных гейтов следует, что:

$$H = \frac{1}{\sqrt{2}}(\sigma_x + \sigma_z) \equiv \frac{1}{\sqrt{2}}(X + Z); \quad S = T^2. \quad (7.7)$$

Название T -гейта ($\pi/8$ -гейт) определяется историческими причинами и возможностью представления матрицы этого гейта с точностью до общего фазового множителя $\exp(i\pi/8)$ в виде:

$$T \equiv \exp(i\pi/8) \begin{pmatrix} \exp(-i\pi/8) & 0 \\ 0 & \exp(i\pi/8) \end{pmatrix} \quad (7.8)$$

Гейт Адамара является одним из наиболее полезных квантовых гейтов. Этот гейт иногда определяют как "квадратный корень от NOT-гейта. Это связано с тем, что данный гейт преобразует $a|0\rangle + b|1\rangle$ -часть кубита в $(|0\rangle + |1\rangle)/\sqrt{2}$ —"половина пути" между $|0\rangle$ и $|1\rangle$ состояниями в геометрической интерпретации кубита на сфере Блоха. Соответственно в $|1\rangle$ -части кубита преобразуется гейтом Адамара в комбинацию $(|0\rangle - |1\rangle)/\sqrt{2}$, что также "половина пути" между $|0\rangle$ и $|1\rangle$. Однако H^2 -гейт не приводит к NOT-гейту, так как алгебраические вычисления дают $H^2 \equiv I$. То есть двухкратное применение гейта H возвращает систему в исходное положение.

Графическое обозначение однокубитовых гейтов представляют в виде:

$$\begin{aligned} a|0\rangle + b|1\rangle &\text{---} \boxed{X} \text{---} b|0\rangle + a|1\rangle \\ a|0\rangle + b|1\rangle &\text{---} \boxed{Y} \text{---} -i\{b|0\rangle - a|1\rangle\} \\ a|0\rangle + b|1\rangle &\text{---} \boxed{Z} \text{---} a|0\rangle - b|1\rangle \\ a|0\rangle + b|1\rangle &\text{---} \boxed{H} \text{---} a\frac{|0\rangle + |1\rangle}{\sqrt{2}} + b\frac{|0\rangle - |1\rangle}{\sqrt{2}} \\ a|0\rangle + b|1\rangle &\text{---} \boxed{S} \text{---} a|0\rangle + ib|1\rangle \\ a|0\rangle + b|1\rangle &\text{---} \boxed{T} \text{---} a|0\rangle + e^{i\pi/4}b|1\rangle = \\ &= e^{i\pi/8}\{e^{-i\pi/8}a|0\rangle + e^{i\pi/8}b|1\rangle\} \end{aligned} \quad (7.9)$$

Произвольный однокубитовый унитарный оператор может быть записан в виде:

$$U = \exp(i\alpha) R_{\vec{n}}(\theta), \quad (7.10)$$

где $R_{\vec{n}}(\theta)$ — оператор поворота на угол θ вокруг оси, определенной единичным вектором \vec{n} , α и θ — действительные числа.

Используя вид оператора поворота можно установить, что $T \equiv R_z(\pi/4)$, а гейт Адамара с точностью до глобального фазового множителя, является произведением операторов поворота R_x и R_z . С учетом условия антикоммутиации матриц Паули $\sigma_x\sigma_y = -\sigma_y\sigma_x$ можно установить, что

$$X R_y(\theta) X = R_y(-\theta). \quad (7.11)$$

В алгебре матриц Паули доказывается теорема, которая называется **теоремой X – Y разложения** для однокубитового гейта (или оператора). Содержание теоремы утверждает, что существуют действительные числа $\alpha, \beta, \gamma, \delta$ такие, что унитарный оператор U может быть представлен в виде:

$$U = e^{i\alpha} R_z(\beta) R_y(\gamma) R_z(\delta). \quad (7.12)$$

Обобщение этой теоремы может быть выполнено для двух произвольных направлений, определенных векторами \vec{m} и \vec{n} . В этом случае однокубитовая унитарная матрица может быть записана в виде

$$U = e^{i\alpha} R_n(\beta_1) R_m(\gamma_1) R_n(\beta_2) R_m(\gamma_2) \dots \quad (7.13)$$

Для дальнейшего (с целью изучения квантовых цепей) полезно отметить следующие равенства

$$H X H = Z; \quad H Y H = -Y; \quad H Z H = X; \quad H T H = e^{i\alpha} R_x(\pi/4) \quad (7.14)$$

7.3 Контролируемые квантовые гейты

Простейшим двухкубитовым контролируемым гейтом в классическом компьютере является CNOT-гейт. В квантовых вычислениях водится, по сути подобный, гейт, который имеет два входных кубита и два кубита на выходе. Как и в классическом случае один из пары кубитов называется контролирующим, а второй контролируемым или кубитом-мишенью. Буквенное обозначение CNOT-квантового гейта не отличается от классического. Логика выполнения операции при этом определяется следующим образом: если контролирующий кубит находится в состоянии $|1\rangle$, тогда контролируемый кубит подвергается квантовой операции NOT, в противном случае контролируемый кубит остается без изменения. Графически "цепь" квантового CNOT-гейта изображается в виде:

$$CNOT = \begin{array}{c} |a\rangle \text{---} \text{---} \text{---} |a\rangle \\ |b\rangle \text{---} \boxed{\text{NOT}} \text{---} |b'\rangle \end{array} \quad (7.15)$$

Для пары кубитов $|a\rangle$ и $|b\rangle$ в качестве базисных можно выбрать вектора, являющиеся прямым произведением базисных векторов отдельных кубитов:

$$|0_a 0_b\rangle = |0_a\rangle \otimes |0_b\rangle = \begin{pmatrix} 1 \\ 0 \end{pmatrix} \otimes \begin{pmatrix} 1 \\ 0 \end{pmatrix} \equiv \begin{pmatrix} 1 \\ 0 \\ 0 \\ 0 \end{pmatrix}. \quad (7.16)$$

Аналогично оставшиеся 3 базисных состояния имеют вид:

$$|0_a 1_b\rangle \equiv \begin{pmatrix} 0 \\ 1 \\ 0 \\ 0 \end{pmatrix}; \quad |1_a 0_b\rangle \equiv \begin{pmatrix} 0 \\ 0 \\ 1 \\ 0 \end{pmatrix}; \quad |1_a 1_b\rangle \equiv \begin{pmatrix} 0 \\ 0 \\ 0 \\ 1 \end{pmatrix}. \quad (7.17)$$

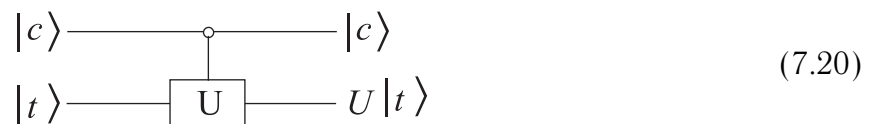
Чистое двухкубитовое квантовое состояние такой системы в общем виде определяется суперпозицией двухкубитовых базисных состояний

$$|\psi_{ab}\rangle = \alpha |0_a 0_b\rangle + \beta |0_a 1_b\rangle + \gamma |1_a 0_b\rangle + \delta |1_a 1_b\rangle \equiv \begin{pmatrix} \alpha \\ \beta \\ \gamma \\ \delta \end{pmatrix}. \quad (7.18)$$

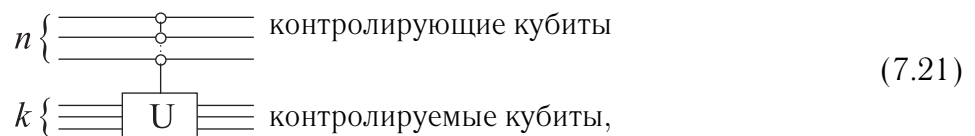
Таким образом матрица квантового CNOT-гейт имеет следующий вид в базисе кубитов $|0\rangle$ и $|1\rangle$

$$CNOT = \begin{pmatrix} 1 & 0 & 0 & 0 \\ 0 & 1 & 0 & 0 \\ 0 & 0 & 0 & 1 \\ 0 & 0 & 1 & 0 \end{pmatrix} \quad (7.19)$$

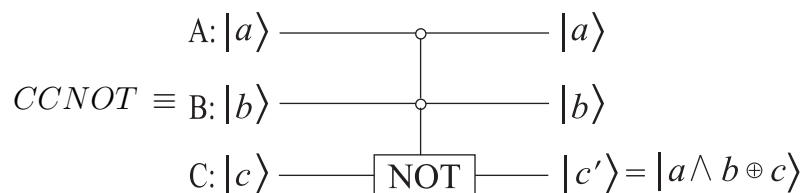
Если выбирать в качестве оператора некоторый произвольный унитарный оператор, действующий на одиночный кубит, то контролируемая U-операция или CONTROLLED U-гейт можно графически определить следующим образом



И в более общем случае



наиболее важным из которых является Тоффоли гейт или CCNOT-гейт



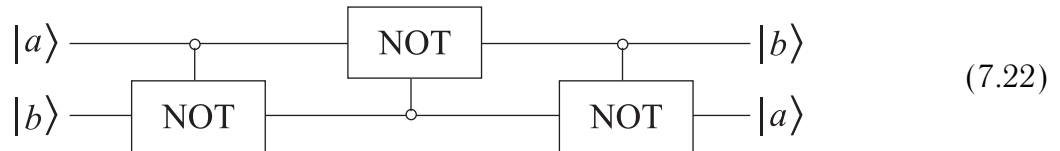
В этом гейте управляющими являются кубиты A и B , а C — является управляемым. В пространстве базисных состояний 3-х кубитов $|0, 0, 0\rangle$, $|0, 0, 1\rangle$, $|0, 1, 0\rangle$, $|1, 0, 0\rangle$, $|1, 0, 1\rangle$,

$|1, 1, 0\rangle, |1, 1, 1\rangle$ он описывается следующей матрицей размерности 8×8

$$CCNOT \equiv \begin{pmatrix} 1 & 0 & 0 & 0 & 0 & 0 & 0 & 0 \\ 0 & 1 & 0 & 0 & 0 & 0 & 0 & 0 \\ 0 & 0 & 1 & 0 & 0 & 0 & 0 & 0 \\ 0 & 0 & 0 & 1 & 0 & 0 & 0 & 0 \\ 0 & 0 & 0 & 0 & 1 & 0 & 0 & 0 \\ 0 & 0 & 0 & 0 & 0 & 1 & 0 & 0 \\ 0 & 0 & 0 & 0 & 0 & 0 & 0 & 1 \\ 0 & 0 & 0 & 0 & 0 & 0 & 1 & 0 \end{pmatrix}$$

В теории квантовых вычислений доказывается утверждение о том, что однокубитовые гейты и CNOT-гейт являются универсальными.

Из многочисленных связей гейтов могут быть образованы произвольные квантовые "цепи", например



Последовательность преобразования кубитов в основном базисе выглядит здесь следующим образом:

$$\begin{aligned} |a, b\rangle &\rightarrow |a, a \oplus b\rangle \\ &\rightarrow |a \oplus (a \oplus b), a \oplus b\rangle = |b, a \oplus b\rangle \\ &\rightarrow |b, (a \oplus b) \oplus b\rangle = |b, a\rangle \end{aligned} \quad (7.23)$$

Важной операцией для кубитов является его измерение, которая отображается на рисунке символом:



Операция измерения преобразует состояние одного кубита $|\psi\rangle = a|0\rangle + b|1\rangle$ в вероятностный классический бит M (изображаемый на выходе двойной линией), который может быть 0 с вероятностью $|a|^2$ или 1 с вероятностью $|b|^2$.

7.4 Невозможность клонирования кубита

CNOT-гейт позволяет продемонстрировать одно фундаментальное свойство квантовой информации. Как известно, задача копирования классического бита информации может быть

выполнена с использованием классического CNOT-гейта

$$\begin{array}{c}
 x \text{ ————— } x \\
 | \\
 \circ \\
 | \\
 \text{NOT} \\
 | \\
 0 \text{ ————— } 0 \oplus x
 \end{array}
 \equiv
 \begin{array}{c}
 x \text{ — } \square \text{ — } x \\
 | \\
 0 \text{ — } \square \text{ — } x
 \end{array}
 \quad (7.25)$$

В квантовом случае для произвольного кубита $|\psi\rangle = a|0\rangle + b|1\rangle$ имеем

$$\begin{array}{c}
 \text{вход} \equiv |\psi\rangle |0\rangle : \\
 |\psi\rangle = a|0\rangle + b|1\rangle \text{ ————— } \\
 |0\rangle \text{ ————— } \text{NOT} \text{ ————— } \\
 \text{выход} : a|00\rangle + b|11\rangle
 \end{array}
 \quad (7.26)$$

Начальное двухкубитовое состояние, которое подается на вход гейта CNOT имеет вид:

$$|\psi\rangle |0\rangle = \{a|0\rangle + b|1\rangle\} |0\rangle = a|0\rangle |0\rangle + b|1\rangle |0\rangle = a|00\rangle + b|10\rangle. \quad (7.27)$$

Так как гейт CNOT не преобразует состояние контролируемого кубита $|0\rangle$, если состояние контролирующего $|0\rangle$, и переворачивает состояние контролируемого кубита, при значении контролирующего $|1\rangle$, то очевидно:

$$\begin{aligned}
 CNOT : a|00\rangle &\rightarrow a|00\rangle \\
 CNOT : b|10\rangle &\rightarrow b|11\rangle.
 \end{aligned}$$

Таким образом

$$CNOT : |\psi\rangle |0\rangle = |\psi, 0\rangle \rightarrow a|00\rangle + b|11\rangle. \quad (7.28)$$

Как видно, выход не является произведением состояний $|\varphi\rangle |\psi\rangle$, за исключением тривиальных случаев $|\varphi\rangle = |0\rangle$ и $|\psi\rangle = |1\rangle$, так как в общем случае

$$|\varphi\rangle |\psi\rangle = a^2|00\rangle + ab|01\rangle + ab|10\rangle + b^2|11\rangle. \quad (7.29)$$

Другими словами такая цепь является цепью, создающей копию классического бита, но не копирует кубит. Общее свойство невозможности копирования кубита известно в квантовой теории информации как **теорема о неклонировании кубита** (no-cloning theorem).

7.5 Состояния Белла

Рассмотрим более сложную квантовую цепь

$$\begin{array}{c}
 x \text{ — } \square \text{ Н — } \circ \text{ — } \\
 | \\
 \text{NOT} \\
 | \\
 y \text{ — } \square \text{ — }
 \end{array}
 \Rightarrow |C_{xy}\rangle
 \quad (7.30)$$

состоящую из однокубитового гейта Адамара и CNOT-гейта, и рассмотрим результат действия такой цепи на набор двухкубитовых состояний $|x, y\rangle$ вида: $|00\rangle, |01\rangle, |10\rangle, |11\rangle$.

Например, при действии гейта Адамара на $|00\rangle$ на выходе будем иметь $(|0\rangle + |1\rangle)|0\rangle/\sqrt{2}$, а после действия гейта CNOT получим двухкубитовое состояние вида $(|00\rangle + |11\rangle)/\sqrt{2}$. Для всех четырех начальных состояний можно записать квантовый аналог таблицы истинности:

ВХОД	ВЫХОД
$ 00\rangle$	$(00\rangle + 11\rangle)/\sqrt{2} \equiv C_{00}\rangle$
$ 01\rangle$	$(01\rangle + 10\rangle)/\sqrt{2} \equiv C_{01}\rangle$
$ 10\rangle$	$(00\rangle - 11\rangle)/\sqrt{2} \equiv C_{10}\rangle$
$ 11\rangle$	$(01\rangle - 10\rangle)/\sqrt{2} \equiv C_{11}\rangle$

$$(7.31)$$

Двухкубитовые состояния $|C_{ij}\rangle, i, j \in 0, 1$ называются **состояниями Белла** или **EPR-парами** (EPR \equiv Einstein-Podolsky-Rosen), которые обнаружили странные (необычные) свойства этих состояний. Сокращенно эти состояния можно записать в виде:

$$|C_{xy}\rangle \equiv \frac{|0y\rangle + (-1)^x |1\bar{y}\rangle}{\sqrt{2}}, \quad (7.32)$$

где $\bar{y} \equiv \neg y$.

7.6 Квантовый параллелизм

Квантовый параллелизм — это фундаментальное свойство квантовых вычислений. Данное свойство позволяет квантовым компьютерам вычислять функцию $f(x)$ для различных значений x одновременно.

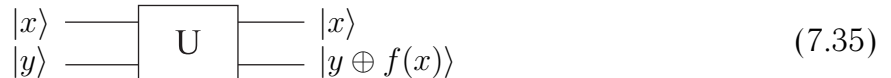
Для иллюстрации квантового параллелизма рассмотрим вычисление функции от битовой переменной x , результатом которой также является битовое значение

$$f(x) : \{0, 1\} \rightarrow \{0, 1\}. \quad (7.33)$$

Приемлемый способ вычисления этой функции на квантовом компьютере — это рассмотрение двухкубитового квантового компьютера, который оперирует с состоянием $|xy\rangle$. Используя соответствующую последовательность логических гейтов можно преобразовать исходное состояние $|xy\rangle$ в состояние $|x, y \oplus f(x)\rangle$. Здесь можно сказать, что x, y — регистры квантового компьютера. При этом первый регистр будем называть *регистром данных*, а второй — *регистром мишени*. Положим, что преобразование $|x, y\rangle \rightarrow |x, y \oplus f(x)\rangle$ осуществляется некоторым унитарным преобразованием U . В нашем случае мы можем рассматривать U как некий "черный ящик". Как следует из преобразования, если $y = 0$, то:

$$|x, 0\rangle \rightarrow |x, f(x)\rangle. \quad (7.34)$$

То есть в этом случае состояние второго кубита совпадает со значением вычисляемой функции $f(x)$.



Рассмотрим квантовую цепь (7.35) которая действует на входные состояния вида

$$\begin{array}{c} \frac{|0\rangle+|1\rangle}{\sqrt{2}} \\ |0\rangle \end{array} \longrightarrow \boxed{U} \longrightarrow |\psi\rangle? \quad (7.36)$$

т.е. на регистр данных ($|\psi\rangle$) попадает суперпозиция $(|0\rangle + |1\rangle)/\sqrt{2}$, которая может быть создана действием гейта Адамара на кубит $|0\rangle$. В результате действия "черного ящика" U результирующее состояние будет иметь вид:

$$\begin{array}{c} \frac{|0\rangle+|1\rangle}{\sqrt{2}} \\ |0\rangle \end{array} \longrightarrow \boxed{U} \longrightarrow |\psi\rangle = \frac{|0, f(0)\rangle}{\sqrt{2}} + \frac{|1, f(1)\rangle}{\sqrt{2}}. \quad (7.37)$$

В данном удивительном результирующем состоянии различные члены содержат информацию как о значении $f(0)$, так и о значении $f(1)$! Фактически это соответствует вычислению функции $f(x)$ для двух значений x одновременно. Это свойство и обозначается в квантовых вычислениях как "квантовый параллелизм". В отличие от организации параллельных вычислений в классических компьютерах, когда технически создается несколько параллельных цепей, производящих вычисления одновременно в квантовом компьютере это осуществляется в одной цепи на суперпозиции состояний.

Данная процедура может быть легко обобщена для функции с произвольным числом битов путем введения преобразования Уолша-Адамара (Walsh-Hadamard), представляющее собой прямое произведение однокубитовых операторов Адамара:

$$\hat{W} \equiv \hat{H}_1 \otimes \hat{H}_2 \otimes \hat{H}_3 \otimes \dots \otimes \hat{H}_n. \quad (7.38)$$

Данный оператор — есть n -штук гейтов Адамара, действующих параллельно на n -кубитов. Например, в случае $n = 2$ при действии на кубиты в начальном состоянии $|0\rangle$, получим

$$\begin{array}{c} |0\rangle \\ |0\rangle \end{array} \longrightarrow \begin{array}{c} \boxed{H} \\ \boxed{H} \end{array} \longrightarrow |\psi\rangle \equiv \frac{|0\rangle + |1\rangle}{\sqrt{2}} \cdot \frac{|0\rangle + |1\rangle}{\sqrt{2}} = \frac{|00\rangle + |01\rangle + |10\rangle + |11\rangle}{2}. \quad (7.39)$$

В общем случае, результат действия гейта Адамара-Уолша на n -штук кубит, первоначально находящихся в состоянии $|0\rangle$ приводит к результату:

$$\hat{W} |0\rangle = \frac{1}{2^n} \sum_x |x\rangle, \quad (7.40)$$

где суммирование осуществляется по всем возможным состояниям x (см. пример при $n = 2$ (7.39)).

Такое преобразование Адамара-Уолша производит суперпозицию всех базисных состояний с равной амплитудой. Более того оно чрезвычайно эффективно для построения суперпозиции 2^n состояний, используя при этом только n -гейтов.

Квантовые параллельные вычисления функции с n -битовым входом x и однобитовым выходом $f(x)$ могут быть построены следующим образом. Приготовим $n + 1$ -кубитовое состояние $|0\rangle$ на выходе. Применим преобразование Уолша-Адамара к первым n -кубитам, с последующим применением цепи U . В результате получим состояние

$$U\hat{W}^{(n)}|0\rangle \rightarrow \frac{1}{\sqrt{2^n}} \sum_x |x\rangle |f(x)\rangle. \quad (7.41)$$

В определенном смысле квантовый параллелизм способен вычислить возможные значения функции f одновременно для всех значений, хотя f вычисляется только один раз! Однако такой параллелизм оказывается не очень-то полезным.

Действительно, в нашем двухкубитовом примере измерение состояния даст только $|0, f(0)\rangle$ или $|1, f(1)\rangle$. Аналогично в общем случае, измерение состояния $\sum_x |x, f(x)\rangle$ может дать только $f(x)$ для одного значения x . Конечно и классический компьютер все это делает без труда. Квантовые вычисления должны приводить к результату более значительному, чем параллелизм. Необходимо иметь возможность извлекать информацию о более чем одном значении функции $f(x)$ из суперпозиции состояний подобно $\sum_x |x, f(x)\rangle$. Такая задача решается при построении специальных квантовых алгоритмов.

Ниже приводится пример действия гейта Уолша-Адамара на начальное n -кубитовое состояние $|0\rangle$. Если имеется произвольное n -кубитовое состояние $|x\rangle$ (например, $|x\rangle \equiv \underbrace{|01011\dots\rangle}_n$), то

$$\hat{W}|x\rangle = \frac{1}{\sqrt{2^n}} \sum_{y=0}^{2^n-1} (-1)^{x \cdot y} |y\rangle,$$

где x, y — цепочки из 2^n состояний n -кубитов, а $x \cdot y$ обозначает их побитовое скалярное произведение по модулю 2, определяемое как

$$x \cdot y \equiv \sum_{n=0}^{2^n-1} (x_n \wedge y_n).$$